

Рис. 1. Зависимость от времени глобальной температуры и содержания CO_2 в атмосфере в начале XIX века в эксперименте 'СМIP5' с КМ ИФА РАН.

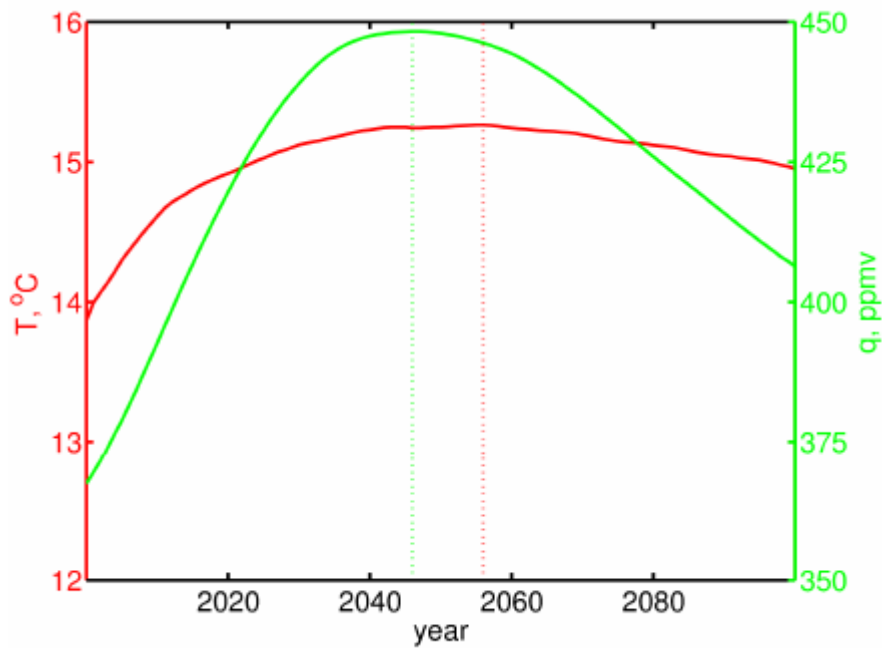


Рис. 2. Зависимость от времени глобальной температуры и содержания CO_2 в атмосфере в середине XXI века в эксперименте 'СМIP5' с КМ ИФА РАН.

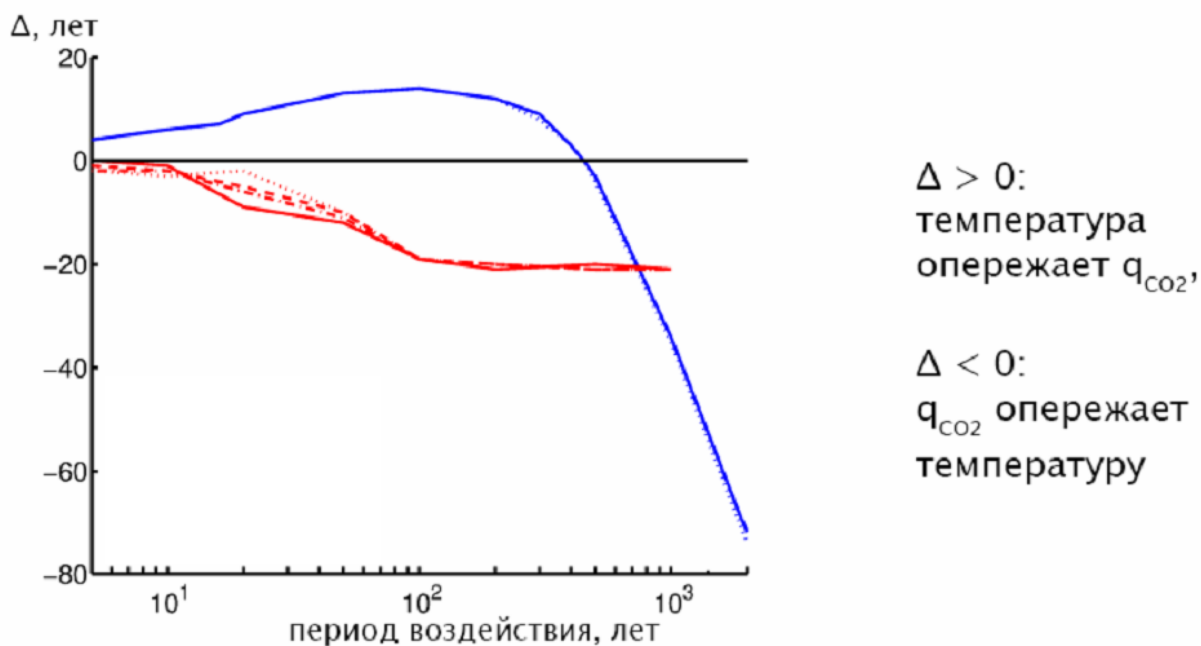


Рис. 3. Зависимость ΔT_q от периода внешнего воздействия в экспериментах 1а (красные линии) и 2а (синие линии) с КМ ИФА РАН. Различные типы штриховки соответствуют различным амплитудам воздействия.

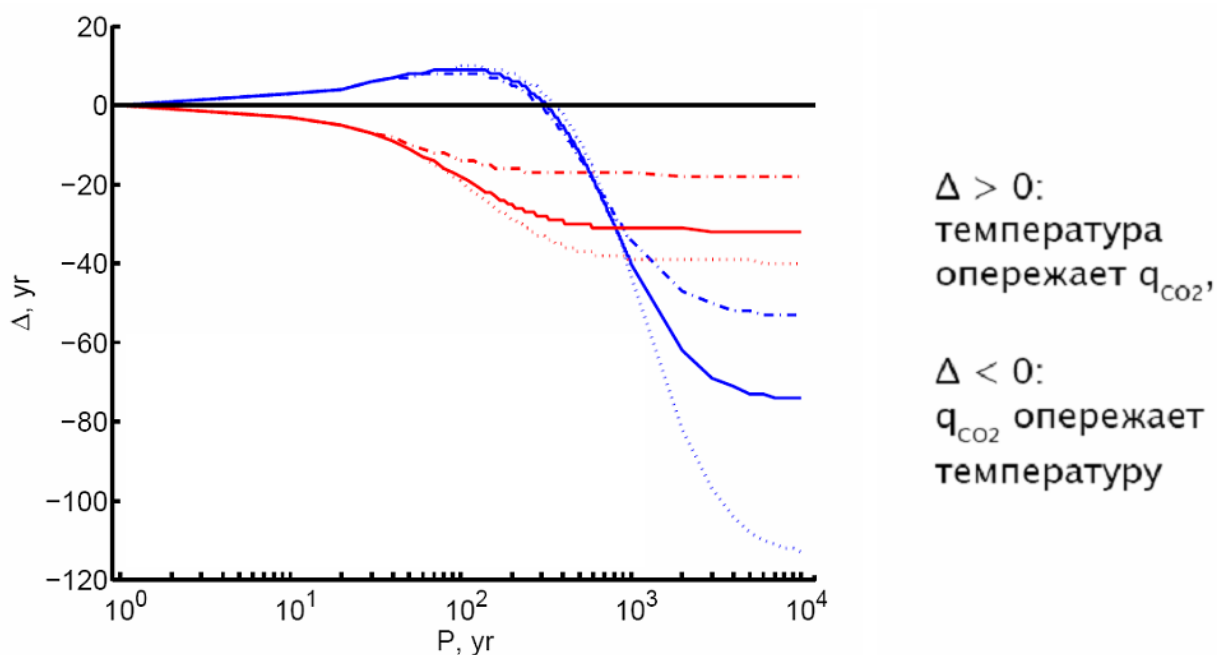


Рис. 4. Зависимость ΔT_q от периода внешнего воздействия в экспериментах 1а (красные линии) и 2а (синие линии) с концептуальной моделью. Различные типы штриховки соответствуют различным значениям параметров модели.

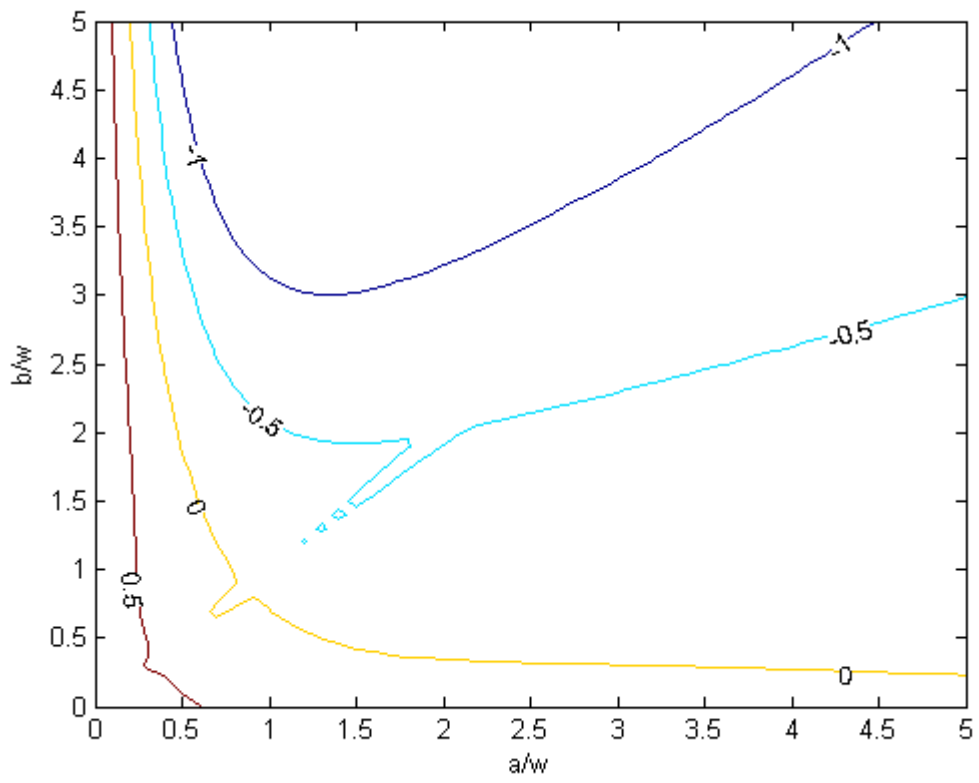


Рис. 5. Зависимость значения производной $q'(t_0)$ в момент времени t_0 , когда температура T достигает максимума, от значений безразмерных параметров $\frac{a}{\omega}$ и $\frac{b}{\omega}$. Если $q'(t_0) > 0$, T опережает q , если $q'(t_0) < 0$, q опережает T .